

文章编号: 1001-9081(2010)07-1978-05

X-DSP ALU 与移位部件的设计与实现

彭元喜, 邹佳骏

(国防科学技术大学 计算机学院, 长沙 410073)

(pyx@nudt.edu.cn)

摘要:针对 DSP CPU 的算术运算逻辑单元 (ALU) 与移位部件在性能、功耗与面积上面临的挑战, 研究了 X 型 DSP 的 CPU 体系结构, 在对 X 型 DSP ALU 部件和移位器部件相关指令进行归类分析的基础上, 设计实现了 ALU 部件和移位器部件。采用 Design Compiler 综合工具, 基于 SMIC 公司 0.13 μm CMOS 工艺库对 ALU 移位部件进行了逻辑综合, 电路功耗共为 4.2821 mW, 电路面积为 71042.9804 μm^2 , 工作频率达到 250 MHz。

关键词:数字信号处理器; 算术运算逻辑单元; 桶形移位器; 核心加法器; 验证

中图分类号: TP342.21 **文献标志码:** A

Design and implementation of ALU and shifter in X-DSP

PENG Yuan-xi ZOU Jia-jun

(School of Computer Science, National University of Defense Technology, Changsha Hunan 410073, China)

Abstract Concerning the challenges on performance, power, area of Arithmetic Logical Unit (ALU) and shifter in DSP CPU, this paper studied the architecture of X-DSP and analyzed the characteristics of all instructions related to ALU unit and shifter unit and designed and implemented the two units. This paper also synthesized the two computational units by using design compiler with SMIC 0.13 μm CMOS technology library. The total circuit power consumption was 4.2821 mW, the area of the circuit was 71042.9804 μm^2 , and the frequency was 250 MHz which met the requirements of the system.

Key words Digital Signal Processor (DSP); Arithmetic Logical Unit (ALU); barrel shifter; core adder; verification

0 引言

数字信号处理器 (Digital Signal Processor DSP) 是对信号和图像实现实时处理的一类芯片, 具有高效率、低功耗和低成本的特点, 在通信、军事、控制、家电等各个领域得到了广泛的应用, DSP 技术已为目前集成电路领域发展速度最快、竞争最激烈的技术。TI TMS320C55^[1-2] 是一款低功耗、低成本的 16-bit 定点 DSP, 工作在 0.9 V 下, 工作频率达 300 MHz, 是数字通信等便携式应用的有效解决方案。X 型 DSP 由我们自主研发, 与 C55x 指令集系统兼容。

CPU 是 DSP 的核心, 而算术运算逻辑单元 (Arithmetic Logical Unit ALU) 与移位部件功能丰富, 是 DSP CPU 的关键部件之一, ALU 与移位部件通常也是 DSP 芯片关键路径, 对芯片的性能、面积和功耗有重要影响。

ALU 从结构上分为两种: 一种是加法器独立方式, 在加法器外围附加其他的电路以实现逻辑运算指令, 另一种是在加法器中集成逻辑运算、算术运算, 用控制信号选择进行具体的指令操作, 这是一种集成多功能的 ALU 结构, 两种结构中加法器都是 ALU 的核心。常用的加法器有行波进位加法器 (Ripple Carry Adder)^[3-4]、进位跳跃加法器 (Ripple Carry Adder)^[3]、超前进位加法器 (Carry Lookahead Adder)^[5]、ling 加法器^[6]、进位选择加法器 (Ripple Carry Adder)^[3]等, 其中最常用的加法器是超前进位加法器。移位器的设计常采用桶形移位器^[7]。

文献 [8] 提出一种基于改进型双路径并行算法的适合于

DSP 的 ALU, 它以加减法作为划分双路径依据, 虽然该 ALU 适合于浮点运算, 但在 0.18 μm CMOS 工艺下关键路径延时为 8.59 ns (最大工作频率约 116 MHz)。

本文根据 X 型 DSP CPU 的 ALU 单元和移位部件功能要求, 分别对 ALU 单元和移位器单元进行了详细设计与实现。在深入研究快速加法器的关键技术以及各种实现结构的基础上, 采用改进的超前进位算法, 实现了一款高效的 ALU 单元。另外本文还提出了一种改进型全译码 40 位桶形移位器, 它继承了传统移位器的优势, 能完成 X 型 DSP 所需的全部算术、逻辑、循环以及双移位等移位功能。

1 X 型 DSP ALU 与移位部件概述

X 型 DSP 处理器由 CPU 内核、外设和存储器三个部分组成。

1.1 X 型 DSP CPU 体系结构

X 型 DSP CPU 结构如图 1 所示。X 型 DSP 在存储器结构设计上采用了改进的哈佛结构, 共提供 1 条程序总线访问程序存储器, 5 条数据总线访问数据存储器, 处理器最多可以同时支持 6 个访存操作。X 型 DSP CPU 从功能上可分为 I、R、A、D 四个单元: 指令缓存单元 (I unit) 用于缓存和解码应用程序的指令, 确定指令长度, 指令缓存单元用于减少指令停顿, 提高指令执行效率; 程序流单元 (P unit) 用于实现高效的循环、分支、条件执行以及流水保护; 地址数据流单元 (A unit) 根据各种寻址模式生成数据地址, A 单元还附加一个通用 ALU (AALU), 用于简化算术运算, 提高指令并行性; 数据计算单元 (D unit) 执行算术运算, 包括 MAC、ALU (DALU) 以

收稿日期: 2009-12-29 修回日期: 2010-03-15 基金项目: 国家自然科学基金资助项目 (60676010)、国家 863 计划项目 (2007AA01Z108)、教育部长江学者和创新团队发展计划项目。

作者简介: 彭元喜 (1966-), 男, 湖南澧县人, 副研究员, 博士, 主要研究方向: 微处理器设计、片上网络 (NoC) 设计、MPSoc 体系结构; 邹佳骏 (1984-), 男, 湖南郴州人, 硕士研究生, 主要研究方向: 微处理器设计。

及累加器寄存器和一个桶形移位器、舍入和饱和控制以及用于加速维特比算法的专门硬件。

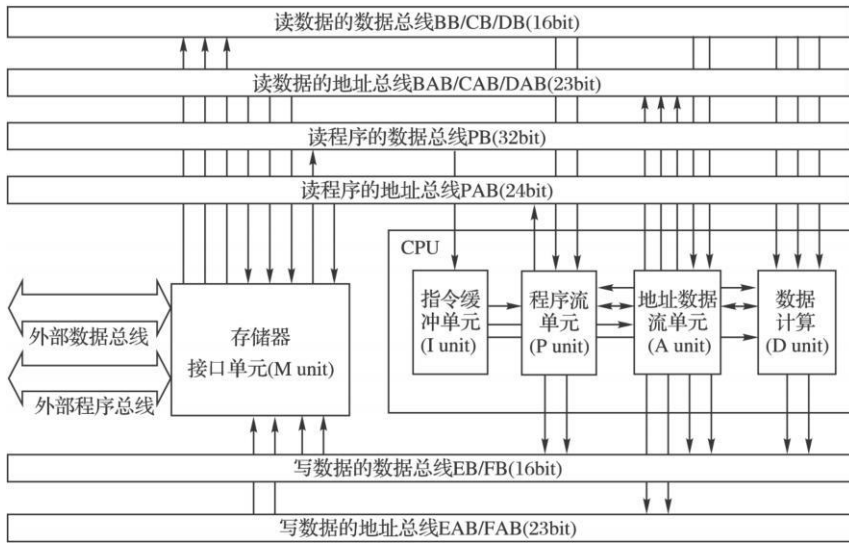


图 1 X型 DSP CPU 结构

1.2 X型 DSP ALU 与移位部件

ALU 与移位部件是 D 部件的核心部件之一,是影响整个处理器性能、面积与功耗的主要因素之一。

图 2 为 D 单元总体结构框图。D 部件的 ALU 在单指令周期中完成算术和逻辑运算,移位器在单指令周期中完成任意多位的移位操作。对于通用 CPU,ALU 和移位器是并行组

织的,即对于算术逻辑操作指令来说,数据只经过 ALU 进行操作;而对于移位指令来说,数据直接进入桶形移位器进行移位得到操作结果,而不必经过 ALU。但在 X-DSP CPU 中,部分指令必须先进行移位操作,再进行算术逻辑运算,为提高性能、节省面积与功耗,需要将桶形移位器与 ALU 串行组织,这在性能、面积与功耗上对 ALU 和移位器设计提出了挑战。

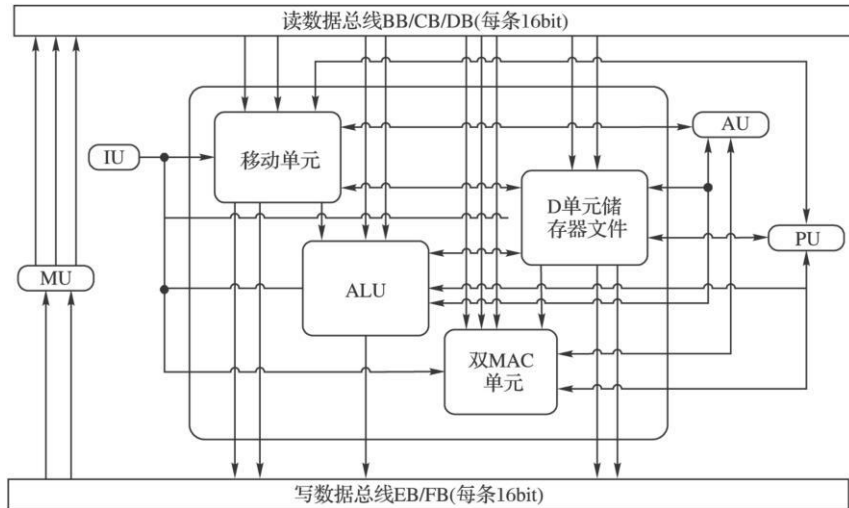


图 2 D 单元总体结构框图

2 AIU 的逻辑设计

2.1 ALU 指令类型分析

D 单元 ALU 总共执行 122 条指令,其中 42 条指令执行逻辑操作(与、或、异或、取非、取补、取绝对值、搬移),34 条指令执行算术操作(普通配置模式下的加、减),10 条指令在双 16 bit 配置模式下执行加减运算,2 条指令在条件加减配置模式下执行操作,7 条指令执行条件比较大小操作,6 条指令执行位处理操作,8 条指令执行维特比运算,其余指令执行特殊运算和并行操作。

2.2 ALU 数据通路

图 3 为 D 单元 ALU 总体数据通路。ACRQ、ACR1 和 ACWQ、ACW1 分别为数据寄存器(累加器)读和写总线。DRB 总线将 A 部件寄存器数据传送至 ALU,SH 总线将 D 部件移

位器移位结果传送到 ALU, KDB 总线传送立即数。DR、CB 和 EB 分别为 ALU 读存储器总线和写存储器总线。DB 和 CB 总线还经影子寄存器(为避免同时读写,应用于重命名技术的寄存器)合并为 DB_CB 总线输入 ALU,以便 ALU 与本部件其他单元并行执行(D 部件移位器和乘法器单元还可能同时用到 DR、CB 总线之一,为避免冲突而寄存总线数据)。

2.3 ALU 运算配置模式

ALU 处理数据主要分别可以在 40 bit 模式和双 16 bit 模式下。在普通运算模式下(即包括 8 bit 保护位的 40 位运算模式),ALU 执行常用的加减或者逻辑运算;而在双 16 bit 模式下,ALU 将从累加器来的数据分成 24 bit 和 16 bit 两组数据通道,其中 24 bit 一组是由高 16 bit 数据和累加器的 8 bit 保护位组成。如图 4 所示。

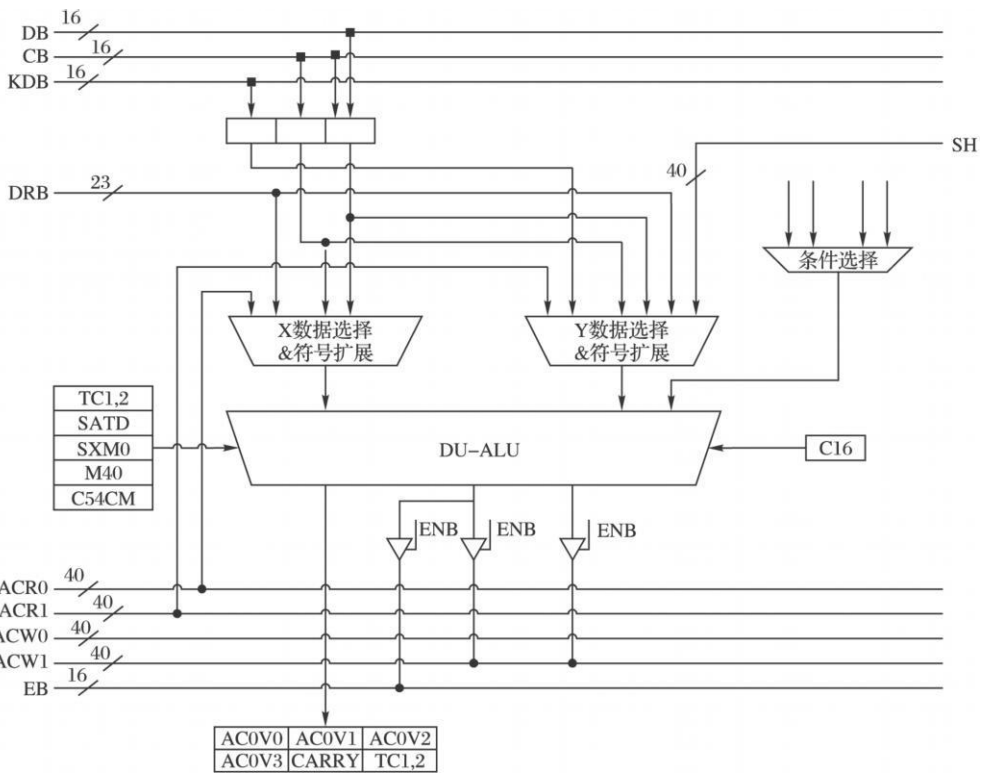


图 3 D单元 ALU 数据通路

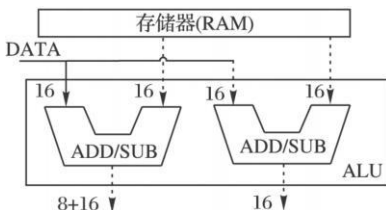


图 4 ALU 双 16 位模式下的配置

在双 16 bit 模式下, 高 24 bit 和低 16 bit 分别能根据需要执行加或者减操作。如表 1 所示。

表 1 双 16 bit 配置模式下的相关操作

双 16 bit 配置模式	执行操作	双 16 bit 配置模式	执行操作
模式 1	高 24 bit 加 低 16 bit 加	模式 3	高 24 bit 减 低 16 bit 加
模式 2	高 24 bit 加 低 16 bit 减	模式 4	高 24 bit 减 低 16 bit 减

除了这两种配置模式的选择外, ALU 还有一种特殊的配置模式, 即条件加减模式, 不同于上面的两种配置, 条件加减模式的控制信号不是由 I 单元译码信号控制, 而是由 P 单元的测试控制位 (TC_x) 来决定。由于操作数的选择不是由 I 单元译码而来, 事先并不知晓测试控制位 TC_x 的状态, 所以 ALU 必须在两种配置模式之外再设计特殊的条件加减模式。

2.4 ALU 的功能设计

加法器是 ALU 的核心, 本文使用 4 位一组的并行进位链, 组内并行, 组间串行, 设计 40 位加法器。4 位一组的 C (进位), sum (和) 算术表达式分别如下:

$$C_0 = G_0 + P_0 C_{in}$$

$$C_1 = G_1 + P_1 C_0 = G_1 + P_1 G_0 + P_1 P_0 C_{in}$$

$$C_2 = G_2 + P_2 C_1 = G_2 + P_2 G_1 + P_2 P_1 G_0 + P_2 P_1 P_0 C_{in}$$

$$C_3 = G_3 + P_3 C_2 = G_3 + P_3 G_2 + P_3 P_2 G_1 + P_3 P_2 P_1 G_0 +$$

$$P_3 P_2 P_1 P_0 C_{in}$$

$$sum_i = P_i \oplus C_{i-1}$$

其中: 进位传播函数 $P_i = a_i \oplus b_i$, 进位生成函数 $G_i = a_i \& b_i$ 。表达式中 C_3, C_2, C_1 和 C_0 分别为各级进位, C_{in} 为最初的进位输入。

本 ALU 将逻辑操作与算术操作集成到二个功能函数 e, f 中, 通过对控制信号选择, ALU 分别执行逻辑运算或者算术运算。功能函数 e, f 分别对应进位生成函数 G 、进位传播函数 P , 其算术表达式为:

$$f = (c \& (a \& b) + c \& (\sim a \& b) + c \& (a \& \sim b) + c \& (\sim a \& \sim b)) \& c_4$$

$$e = (a \& (b \oplus (c \& c_0))) \& c_4$$

c_4 为算术逻辑控制线, c_4 为 0 进行逻辑运算, c_4 为 1 进行算术运算。算术表达式中的系数 c_3, c_2, c_1 和 c_0 置为不同的值, 功能函数或产生超前进位加法器所需要的进位产生函数 (G 函数对应 e 函数) 和进位传播 (P 函数对应 f 函数) 函数, 或产生逻辑操作所要完成的组合运算。算术 / 逻辑运算功能见表 2, c_3, c_2, c_1, c_0 总共有 16 种组合, 共可完成 16 种操作, 表 2 中仅列出主要操作。

表 2 算术 / 逻辑运算功能表

工作方式选择输入 $c_3 c_2 c_1 c_0$	功能函数 f 表 达式的值	算术 / 逻辑 操作说明
0001	$a \vee b$	OR
0011	\bar{b}	NOT
0110	$a \oplus b$	异或、加法
1000	$a \& b$	AND
1100	b	传送
1010	a	传送
1001	$a \ominus b$	同或、减法

当 c_4 为 0 功能函数 e 为 0 它所对应的 G 函数为 0 这时置 C_{in} 为 0 (逻辑运算时不使用进位), 这时本组所有进位 $C_3,$

C_n, C_n, C_0 为 0 $sum_i = \sim P_p$ 完成逻辑运算和传输, 完成何种逻辑和传输运算则由 c_3, c_2, c_1, c_0 决定。

当 c_4 为 1 $c_3, c_2, c_1, c_0 = 4' b0110$ 时, 功能函数 e 为 $a \& b$ 等于该位的 G 函数, 功能函数 f 为 $a \sim b$, 等于该位的 P 函数, 没有进位时 C_m 为 0 这时完成加法操作。

ALU 的减法由加法完成, 根据补码加减法的理论, 先对减数求反, 然后与被减数相加, 最后在结果末位加一, 即 $A - B = A + (\sim B) + 1$ 。当 c_4 为 1 $c_3, c_2, c_1, c_0 = 4' b1001$ 时, 功能函数 e 为 $a \& (\sim b)$, 等于该位的 G 函数, 功能函数 f 为 $a \odot b = a \sim (\sim b)$, 等于该位的 P 函数, 这时完成加法操作, 没有借位时置 C_m 为 1, 这时完成减法操作。

在双 16bit 模式下, ALU 高 24 bit 和低 16 bit 的控制线 $c_1 \sim c_4$ 不同, 低 16 bit 的进位不送高 24 bit 这时高 24 bit 和低 16 bit 相当于两个独立 ALU 工作。

ALU 处于条件加减模式时控制信号 $c_1 \sim c_4$ 由控制位 (TCx) 决定。

3 移位器的逻辑设计

3.1 移位器指令类型分析

D 单元桶形移位器总共包括 53 条指令, 其中 40 条执行算术移位操作, 即保持目标操作数的符号位 (即最高有效位) 不变; 10 条执行逻辑移位操作, 即使目标操作数的左端移入 0; 2 条执行循环移位操作, 即使移出的目标操作数位并不丢失, 而是循环送回目标操作数的另一端; 1 条执行双移位操作。

3.2 移位器数据通路

图 5 为 D 单元移位器数据通路。移位器运算单元主要用于完成左右移位、溢出检测、舍入、饱和操作, 其输入或是数据总线 BR、DB 和 CB 的数据, 或是总线 KDB 的立即数。其输出送存储器总线 EB、FB 或累加器 AC_x 或进行舍入或饱和操作。

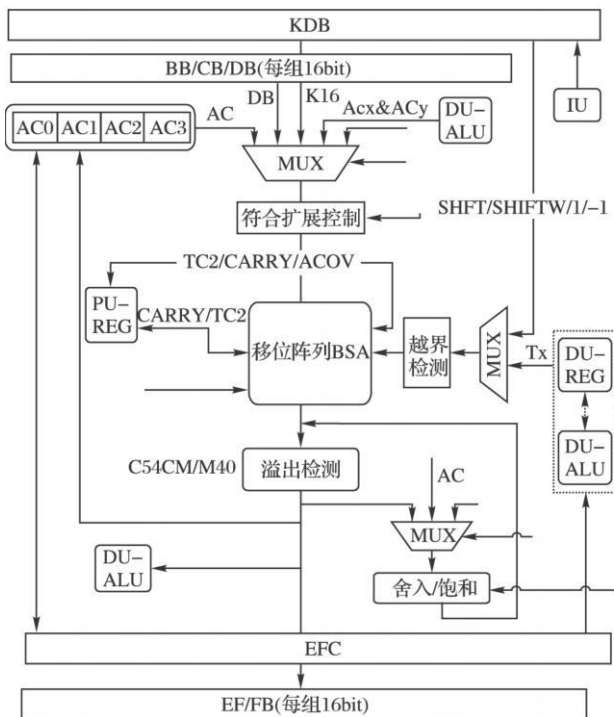


图 5 D 单元移位器数据通路

3.3 移位器逻辑结构详细设计

如图 6 所示为基于全译码桶形移位器的速度快的优势所

设计的 40 位改进型桶形移位器。Sh 表示移位置, 是一个 6 位的二进制补码, 其最高位为符号位, 用于指示当前移位是左移 ($Sh[5] = 0$) 还是右移 ($Sh[5] = 1$), 若 $Sh[5] = 0$ 对 $Sh[4:0]$ 求反, 否则对其求补 (取反加 1)。为了节省一级反相器和加 1 逻辑, 采用一种特殊的补码译码器, 对补码译码器而言, 不论 $Sh[5]$ 是“1”还是“0”, 即不论当前是右移还是左移, 只需对 $Sh[4:0]$ 进行译码, 并且译码规则相同, 译码得到 33 根控制线 $S_{32} \sim S_0$ 控制线置为高电平时有效, 本设计中不存在右移 0 位的情况, 左移 0 位用右移 32 位实现, 所以 S_0 始终保持低电平, 并且同一时刻 $S_{32} \sim S_1$ 中只有一根为高电平, 分别控制移位器右移 1~32 位。

当 $Sh[4:0] = 5' b11111$ 时, 如果其最高位 $Sh[5] = 1$, 则 Sh 的值为 -1, 表示当前需右移 1 位, 控制线 S_1 有效, 如果 $Sh[5] = 0$ 则 Sh 的值为 31, 表示当前需左移 31 位, 由于左移是用右移完成的, 即左移 31 位相当于右移 $32 - 31 = 1$ 位, 同样控制线 S_1 有效; 同理, 当 $Sh[4:0]$ 为 $5' b11110 \sim 5' b00000$ 时, 不论 $Sh[5]$ 是“1”还是“0”, 只需对 $Sh[4:0]$ 进行译码, 并且译码规则相同。显然, 根据不同功能选择对应的输入, 本文的改进型桶形移位器就可以实现 X 型 DSP 所有的 7 种移位功能: 包括逻辑左移、逻辑右移、算术左移、算术右移、循环左移一位、循环右移一位以及并行右移一位。

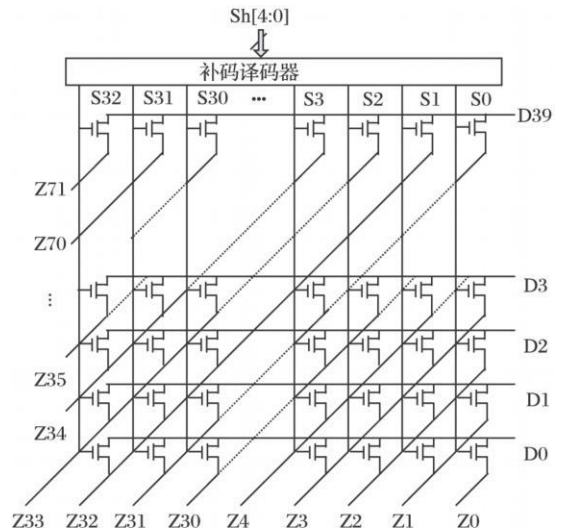


图 6 40 位改进型桶形移位器

4 功能验证与逻辑综合

4.1 逻辑功能验证

功能验证从下列角度对 ALU 与移位部件进行全面验证。

1) 功能验证层次性。它是从子系统级验证完整的角度阐述, 对于整个 ALU 与移位部件来说, 此部件是由很多子单元组成, 子单元实际上又是由下一级子单元构成的。如图 7 所示是 ALU 与移位部件的层次化模块结构。

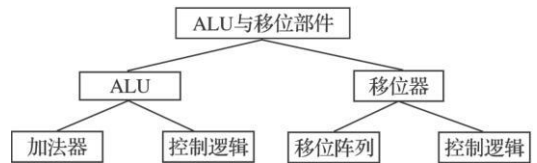


图 7 ALU 与移位部件层次化模块结构

功能验证从底层子单元开始, 直到顶层。首先确保各个底层子单元功能正确, 为其上一级子单元级功能仿真打下良好基础。

2) 功能验证完备性。验证需要包括相应部件全部功能,

